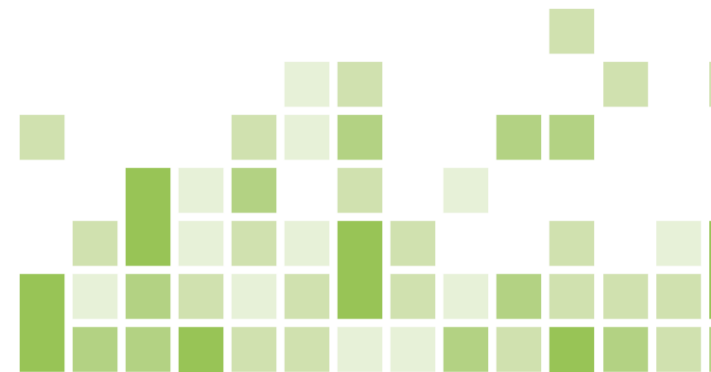




ТОМСКИЙ
ПОЛИТЕХНИЧЕСКИЙ
УНИВЕРСИТЕТ



МАТЕМАТИЧЕСКОЕ МОДЕЛИРОВАНИЕ ФИЗИЧЕСКИХ ПРОЦЕССОВ ЛЕКЦИЯ №8

«Численное решение обыкновенных дифференциальных уравнений. Модифицированные методы»

Отделение ядерно-топливного цикла

Лектор:
Зав. каф. - руководитель ОЯТЦ ИЯТШ
Горюнов А.Г.

2020

План лекции

- 8.1 Модификации метода Эйлера, явная и неявная схема.
- 8.2 Семейство методов Рунге-Кутты.
- 8.3 Метод Рунге-Кутты 4-го порядка.
- 8.4 Пошаговый контроль точности.
- 8.5 Решения дифференциальных уравнений в Matlab.

Информация по курсу:

<https://portal.tpu.ru/SHARED/a/ALEX1479/study/Matmod/Tab>

8.1 Модификации метода Эйлера, явная 3

и неявная схема

8.1.1 Модификации метода Эйлера

Метод Эйлера состоит в приближенной замене производной в уравнении $y' = f(x, y)$ ее разностным аналогом. Тогда дифференциальное уравнение можно записать в виде:

$$\frac{y_{i+1} - y_i}{x_{i+1} - x_i} = f(x_i, y_i) \quad (8.1)$$

Расчетная формула метода Эйлера имеет следующий вид:

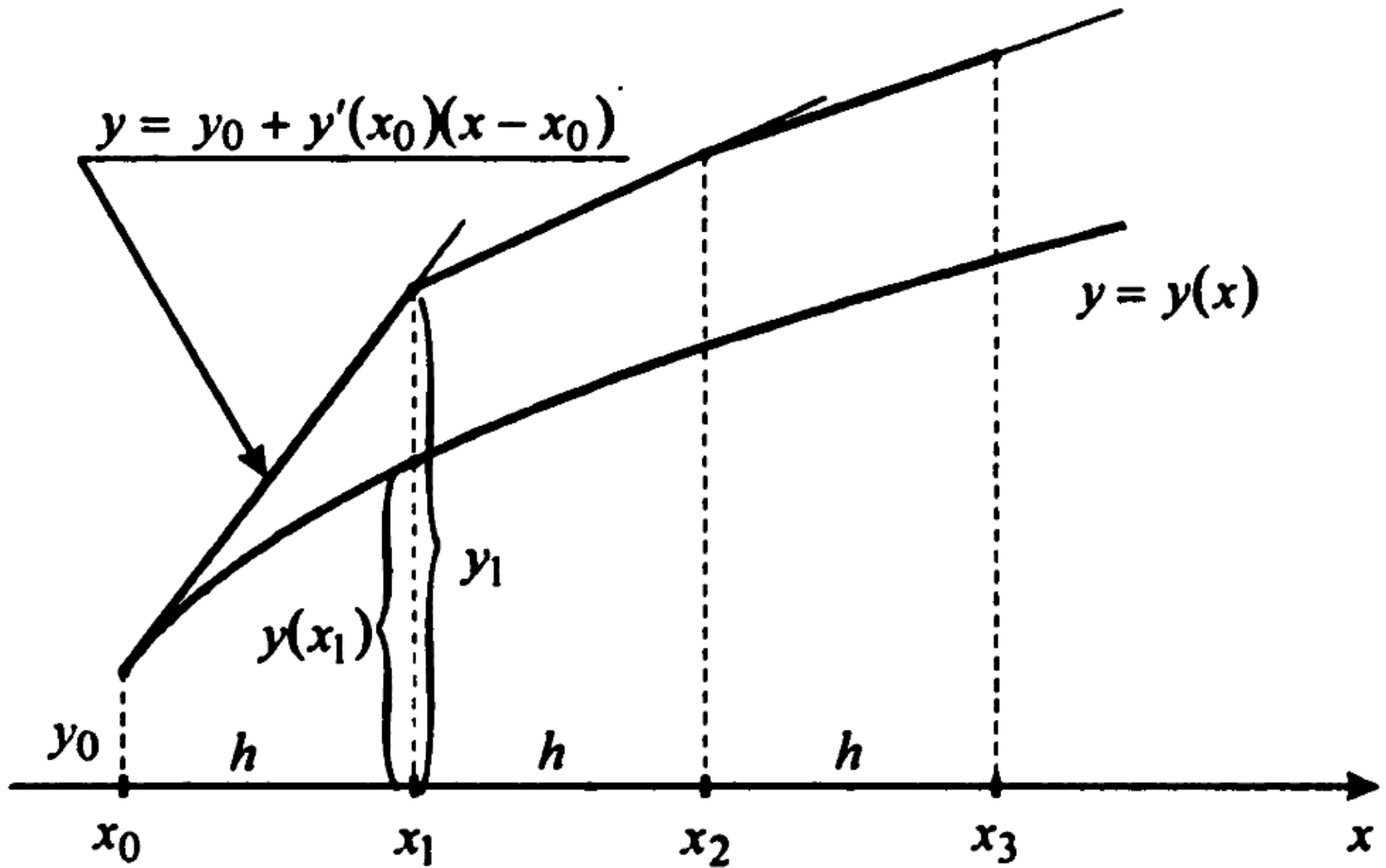
$$\begin{aligned} y_{i+1} &= y_i + h \cdot f(x_i, y_i) \\ x_{i+1} &= x_i + h, \quad (i = 0, 1, 2, \dots, n-1) \end{aligned} \quad (8.2)$$

Результатом численного решения задачи Коши будет таблица значений:

x	x_0	x_1	x_2	...	x_n
y	y_0	y_1	y_2	...	y_n

8.1.1 Модификации метода Эйлера

Геометрическая интерпретация метода Эйлера:

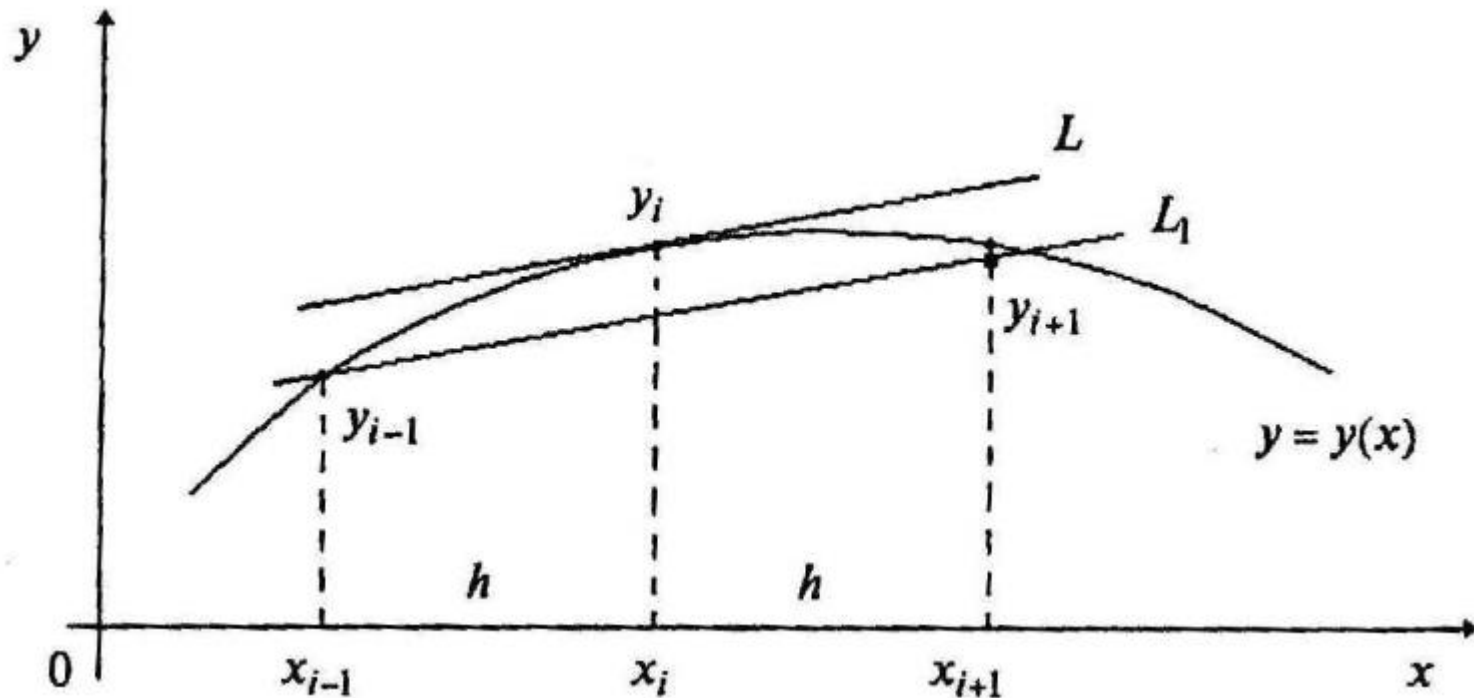


8.1.1 Модификации метода Эйлера

Одной из модификаций является явный метод Эйлера-Коши или уточненный метод Эйлера, применяемый с целью повышения точности расчета:

$$y_{i+1} = y_{i-1} + 2 \cdot h \cdot f(x_i, y_i), \quad (i = 0, 1, 2, \dots, n-1) \quad (8.3)$$

Геометрическая интерпретация метода Эйлера-Коши:



8.1.1 Модификации метода Эйлера

Рассмотрим еще одну модификацию метода Эйлера. Идея модификации: отрезки должны быть параллельны касательным, которые проведены к графику функции не на левых краях, а «посерединке» интервалов разбиения. Это существенно улучшит качество приближения.

В этом случае формула усложняется:

$$y_{i+1} = y_i + h \cdot f \left(x_i + \frac{h}{2}, y_i + \frac{h}{2} f(x_i, y_i) \right) \quad (8.4)$$

Модифицированные методы Эйлера имеют второй порядок точности.

8.1.2 Неявный метод Эйлера

При построении неявного метода Эйлера значение функции f вычисляется на $i+1$ шаге, т.е. для решения задачи Коши используется следующее выражение:

$$\begin{aligned} y_{i+1} &= y_i + h \cdot f(x_{i+1}, y_{i+1}) \\ x_{i+1} &= x_i + h, \end{aligned} \quad (i = 0, 1, 2, \dots, n-1) \quad (8.5)$$

Таким образом, для нахождения приближенного значения искомой функции на $i+1$ шаге необходимо решить **нелинейное уравнение** относительно y_{i+1} :

$$y_{i+1} - h \cdot f(x_{i+1}, y_{i+1}) - y_i = 0 \quad (8.6)$$

Для решения уравнения (8.6) необходимо использовать численные методы, например, метод Ньютона.

8.1.3 Пример жесткого ОДУ

Рассмотрим пример из литературы, относящийся к динамике. Предположим, что есть частица, с координатами $(x(t), y(t))$, и требуется чтобы ее y -координата всегда оставалась равной нулю. Один из способов добиться этого — добавить слагаемое $-k \cdot y(t)$, к производной $y'(t)$, где k — большая положительная постоянная. Если k достаточно велико, то частица никогда не уйдет далеко от $y(t) = 0$, так как слагаемое $k \cdot y(t)$ всегда приведет $y(t)$ обратно к нулю. Для того, чтобы перемещать частицу как угодно вдоль оси x необходимо дифференциальное уравнение следующего вида:

$$\dot{X}(t) = \begin{cases} \frac{dx(t)}{dt} = -x(t) \\ \frac{dy(t)}{dt} = -k \cdot y(t) \end{cases} = \begin{pmatrix} -x(t) \\ -k \cdot y(t) \end{pmatrix} \quad (8.7)$$

Предполагаем, что $y_0 \neq 0$. В этом случае частица будет сильно притягиваться к прямой $y = 0$, и менее сильно — к $x = 0$. Если решать ОДУ на достаточно продолжительном интервале времени, то частица рано или поздно попадет в точку $(0,0)$ и останется в ней.

8.1.3 Пример жесткого ОДУ

Применим метод Эйлера:

$$X_{i+1} = X_i + h \cdot X_i = \begin{pmatrix} x_i \\ y_i \end{pmatrix} + h \begin{pmatrix} -x_i \\ -k \cdot y_i \end{pmatrix} \quad (8.8)$$

или

$$X_{i+1} = \begin{pmatrix} x_i - h \cdot x_i \\ y_i - k \cdot y_i \end{pmatrix} = \begin{pmatrix} (1-h)x_i \\ (1-h \cdot k)y_i \end{pmatrix} \quad (8.9)$$

По y -компоненте этого уравнения, видно, что при $|1-hk|>1$, вычисленное y_{i+1} будет по модулю больше, чем $|y_i|$. Другими словами, при $|1-hk|>1$ метод Эйлера будет неустойчив: каждый шаг приводит к увеличению y_{i+1} по сравнению с предыдущим значением и приближенное решение будет все дальше отклоняться от нуля. Таким образом, для обеспечения устойчивости метода Эйлера необходимо, чтобы $1-hk>-1$ или $hk<2$. Самый большой шаг, который можно сделать не нарушив устойчивости, должен быть меньше $2/k$.

Теперь, если k – большое число, то придется делать очень маленькие шаги. Это означает, что частица будет двигаться к точке $(0,0)$ очень медленно (при моделировании).

8.1.4 Решение жесткого ОДУ

Пусть дано дифференциальное уравнение в векторной форме:

$$\frac{d}{dt} X(t) = f(X(t)) \quad (8.9)$$

$X(t)$ – вектор столбец.

Формула Эйлера для этого уравнения:

$$X(t_{i+1}) = X(t_i) + h \cdot f(X(t_i)) \quad (8.10)$$

или

$$X_{i+1} = X_i + h \cdot f(X_i)$$

Воспользуемся неявной формулой Эйлера:

$$X_{i+1} = X_i + h \cdot f(X_{i+1}) \quad (8.11)$$

Для того, чтобы решить нелинейное уравнение (8.11) заменим $f(X_{i+1})$ линейной аппроксимацией, основанной на разложении f в ряд Тейлора. Введем обозначение $\Delta X_{i+1} = X_{i+1} - X_i$. Подставив его в уравнение (8.11), получим

8.1.4 Решение жесткого ОДУ

$$X_i + \Delta X_{i+1} = X_i + h \cdot f(X_i + \Delta X_{i+1})$$

или

$$\Delta X_{i+1} = h \cdot f(X_i + \Delta X_{i+1}) \quad (8.12)$$

Теперь заменим $f(X_i + \Delta X_{i+1})$ следующим приближением (используя разложение в ряд Тейлора)

$$f(X_i) + f'(X_i)\Delta X_{i+1}$$

Поскольку $f(X_i)$ является вектором, то производная $f'(X_i)$ является матрицей. Используя это приближение, мы можем записать ΔX_{i+1} как

$$\Delta X_{i+1} = h \cdot (f(X_i) + f'(X_i)\Delta X_{i+1}) \quad (8.13)$$

или

$$\Delta X_{i+1} - h \cdot f'(X_i)\Delta X_{i+1} = f(X_i)$$

8.1.4 Решение жесткого ОДУ

Разделим обе части (8.13) на h получим уравнение в матричной форме:

$$\left(\frac{1}{h} I - f'(X_i) \right) \Delta X_{i+1} = f(X_i), \quad (8.14)$$

где I — единичная матрица (1 на диагонали, остальные 0).

Разрешая это соотношение относительно ΔX_{i+1} , получим:

$$\Delta X_{i+1} = \left(\frac{1}{h} I - f'(X_i) \right)^{-1} f(X_i). \quad (8.15)$$

Применим неявный метод для решения уравнения (8.7). В этом случае $f(X(t))$ равно

$$f(X(t)) = \begin{pmatrix} -x(t) \\ -k \cdot y(t) \end{pmatrix}$$

Дифференцирование по X дает

$$f'(X(t)) = \frac{\partial}{\partial X} f(X(t)) = \begin{pmatrix} -1 & 0 \\ 0 & -k \end{pmatrix}. \quad (8.16)$$

8.1.4 Решение жесткого ОДУ

Тогда матрица $(1/h)I - f'(X_j)$ будет равна

$$\begin{pmatrix} \frac{1}{h} + 1 & 0 \\ 0 & \frac{1}{h} + k \end{pmatrix} = \begin{pmatrix} \frac{1+h}{h} & 0 \\ 0 & \frac{1+k \cdot h}{h} \end{pmatrix}. \quad (8.17)$$

Обращая эту матрицу и умножая на $f(X_j)$, получим

$$\Delta X_{i+1} = \begin{pmatrix} \frac{1+h}{h} & 0 \\ 0 & \frac{1+k \cdot h}{h} \end{pmatrix}^{-1} \begin{pmatrix} -x_i \\ -k \cdot y_i \end{pmatrix} = \begin{pmatrix} \frac{h}{1+h} & 0 \\ 0 & \frac{h}{1+k \cdot h} \end{pmatrix} \begin{pmatrix} -x_i \\ -k \cdot y_i \end{pmatrix} = - \begin{pmatrix} \frac{h}{1+h} x_i \\ \frac{h}{1+k \cdot h} k \cdot y_i \end{pmatrix}.$$

В итоге получаем:

$$X_{i+1} = \begin{pmatrix} x_{i+1} \\ y_{i+1} \end{pmatrix} = \begin{pmatrix} x_i \\ y_i \end{pmatrix} - \begin{pmatrix} \frac{h}{1+h} x_i \\ \frac{h}{1+k \cdot h} k \cdot y_i \end{pmatrix} \quad (8.18)$$

В общем случае для жесткого ОДУ мы не сможем сделать шаг произвольного размера, но мы сможем сделать его **гораздо большим**, чем если бы использовали явный метод.

8.2 Семейство методов Рунге-Кутты

Для построения разностной схемы интегрирования воспользуемся разложением функции:

$$\frac{dy}{dx} = f(x, y(x)), \quad 0 < x \leq T, \quad y(0) = y_0 \quad (8.19)$$

в ряд Тейлора:

$$y(x_{i+1}) = y(x_i) + y'(x_i)h + y''(x_i)\frac{h^2}{2} + \dots$$

Заменяем вторую производную в этом разложении выражением

$$y''(x_i) = (y'(x_i))' = f'(x_i, y(x_i)) \approx \frac{f(\tilde{x}, \tilde{y}) - f(x_i, y(x_i))}{\Delta x}$$

где

$$\tilde{x} = x_i + \Delta x, \quad \tilde{y} = y(x_i + \Delta x)$$

Причем Δx подбирается из условия достижения наибольшей точности записанного выражения. Для дальнейших выкладок произведем замену величины «у с тильдой» разложением в ряд Тейлора:

$$\tilde{y} = y(x_i + \Delta x) = y(x_i) + y'(x_i)\Delta x + \dots$$

8.2 Семейство методов Рунге-Кутты

Для исходного уравнения (8.19) построим вычислительную схему:

$$y_{i+1} = y_i + f(x_i, y_i) \cdot h + \frac{h^2}{2\Delta x} (f(x_i + \Delta x, y_i + y'_i \Delta x) - f(x_i, y_i))$$

которую преобразуем к виду:

$$\begin{aligned} y_{i+1} &= y_i + h \left[\left(1 - \frac{h}{2\Delta x} \right) \cdot f(x_i, y_i) + \frac{h}{2\Delta x} f(x_i + \Delta x, y_i + y'_i \Delta x) \right] = \\ &= y_i + h \left[\left(1 - \frac{h}{2\Delta x} \right) \cdot f(x_i, y_i) + \frac{h}{2\Delta x} f\left(x_i + \frac{\Delta x}{h} h, y_i + f(x_i, y_i) \frac{\Delta x}{h} h\right) \right] \end{aligned}$$

Введем следующие обозначения:

$$\alpha = \frac{h}{2\Delta x}, \quad \beta = 1 - \frac{h}{2\Delta x}, \quad \gamma = \frac{\Delta x}{h}, \quad \delta = f(x_i, y_i) \frac{\Delta x}{h}$$

Эти обозначения позволяют записать предыдущее выражение в форме:

$$y_{i+1} = y_i + h \left[\beta \cdot f(x_i, y_i) + \alpha \cdot f(x_i + \gamma \cdot h, y_i + \delta \cdot h) \right] \quad (8.20)$$

8.2 Семейство методов Рунге-Кутты

Очевидно, что все введенные коэффициенты зависят от величины Δx и могут быть определены через коэффициент α , который в этом случае играет роль параметра:

$$\beta = 1 - \alpha, \quad \gamma = \frac{1}{2\alpha}, \quad \delta = f(x_i, y_i) \frac{2}{\alpha}$$

Окончательно схема Рунге-Кутты принимает вид:

$$y_{i+1} = y_i + h \left[(1 - \alpha) \cdot f(x_i, y_i) + \alpha \cdot f\left(x_i + \frac{h}{2\alpha}, y_i + f(x_i, y_i) \frac{h}{2\alpha}\right) \right] \quad (8.21)$$

Та же схема в форме разностного аналога уравнения (8.19):

$$\frac{y_{i+1} - y_i}{h} = (1 - \alpha) \cdot f(x_i, y_i) + \alpha \cdot f\left(x_i + \frac{h}{2\alpha}, y_i + f(x_i, y_i) \frac{h}{2\alpha}\right) \quad (8.22)$$

При $\alpha = 0$ получаем как частный случай уже известную схему Эйлера:

$$y_{i+1} = y_i + h \cdot f(x_i, y_i)$$

При $\alpha = 1$:

$$y_{i+1} = y_i + h \cdot f\left(x_i + \frac{h}{2}, y_i + \frac{h}{2} \cdot f(x_i, y_i)\right) \quad (8.23)$$

8.3 Метод Рунге-Кутты 4-го порядка

Пусть на отрезке $[a, b]$ требуется найти приближенное численное решение дифференциального уравнения:

$$y' = f(x, y) \quad (8.24)$$

при начальных условиях $y(x_0) = y_0$.

Разбиваем отрезок $[a, b]$ на n равных частей точками

$$x_i = x_0 + i \cdot h \quad (8.25)$$

где $i = 0, 1, 2, \dots, n$; $h = (b - a)/n$ – шаг интегрирования (решения) дифференциального уравнения.

На каждом шаге интегрирования заданного ОДУ (8.24) искомая функция $y(x)$ аппроксимируется рядом Тейлора (8.26),

$$y_{i+1} = y_i + y_i' h + \frac{y_i''}{2!} h^2 + \frac{y_i'''}{3!} h^3 + \frac{y_i^{(4)}}{4!} h^4 + \dots \quad (8.26)$$

усеченным до члена ряда, содержащего h^4 .

8.3 Метод Рунге-Кутты 4-го порядка

Каждое последующее приближенное значение y_{i+1} искомого решения y определяется через текущее значение y_i с помощью рекуррентных формул по вычислительной схеме:

$$y_{i+1} = y_i + \Delta y_i \quad (8.27)$$

где

$$\Delta y_i = \frac{1}{6}(k_1 + 2k_2 + 2k_3 + k_4) \quad (8.28)$$

$$k_1 = h \cdot f(x_i, y_i) \quad (8.29)$$

$$k_2 = h \cdot f\left(x_i + \frac{h}{2}, y_i + \frac{k_1}{2}\right) \quad (8.30)$$

$$k_3 = h \cdot f\left(x_i + \frac{h}{2}, y_i + \frac{k_2}{2}\right) \quad (8.31)$$

$$k_4 = h \cdot f\left(x_i + \frac{h}{2}, y_i + k_3\right) \quad (8.32)$$

8.4 Пошаговый контроль точности

Автоматическое изменение шага в ходе решения систем дифференциальных уравнений необходимо, если решение требуется получить с заданной точностью. При высокой точности (погрешность $\varepsilon = E = 10^{-3}$) и решении в виде кривых с сильно различающейся крутизной автоматическое изменение шага обеспечивает уменьшение общего числа шагов в несколько раз, резко уменьшает вероятность возникновения числовой неустойчивости, дает более равномерное расположение точек графика кривых (решений) при их выводе на печать.

Метод Рунге — Кутта с автоматическим изменением шага заключается в том, что после вычисления $y_{j(i+1)}$ с шагом h все вычисления проводятся повторно с шагом $h/2$. Полученный результат $y_{j(i+1)}^*$ сравнивается с $y_{j(i+1)}$. Если с $|y_{j(i+1)} - y_{j(i+1)}^*| < \varepsilon$, вычисления продолжают с шагом h , в противном случае шаг уменьшают. Если это неравенство слишком сильное, шаг, напротив, увеличивают. При той же погрешности $R \sim (h^5)$ лучшие результаты дает описанный ниже метод.

Метод Рунге — Кутта — Мерсона с автоматическим изменением шага обеспечивает приближенную оценку погрешности на каждом шаге интегрирования. Погрешность интегрирования имеет порядок h^5 . Этот метод реализуется следующим алгоритмом:

8.4 Пошаговый контроль точности

1. задается число уравнений N , погрешность $\varepsilon = E$, начальный шаг интегрирования $h = H$ и начальное значение $x = x_0$, $y_1(x_0) = y_0$, $y_2(x_0) = y_2$, ..., $y_N(x_0) = y_N$
2. С помощью 5 циклов с управляющей переменной $j = 1, 2, \dots, N$ вычисляются коэффициенты:

$$\begin{aligned}
 K_{0j} &= h \cdot f_j(x_i, y_{ji}) \\
 K_{1j} &= h \cdot f_j\left(x_i + \frac{1}{3}h, y_{ji} + \frac{1}{3}K_{0j}\right) \\
 K_{2j} &= h \cdot f_j\left(x_i + \frac{1}{3}h, y_{ji} + \frac{1}{6}K_{0j} + \frac{1}{6}K_{1j}\right) \\
 K_{3j} &= h \cdot f_j\left(x_i + \frac{1}{2}h, y_{ji} + \frac{1}{8}K_{0j} + \frac{3}{8}K_{2j}\right) \\
 K_{4j} &= h \cdot f_j\left(x_i + h, y_{ji} + \frac{1}{2}K_{2j} + \frac{3}{2}K_{2j} + 2K_{3j}\right)
 \end{aligned} \tag{8.33}$$

3. Находится (в последнем цикле) значение

$$y_{j(i+1)} = y_{ji} + (K_{0j} + 4K_{3j} + K_{4j})/6 \tag{8.34}$$

и погрешность

$$R_{j(i+1)} = (-2K_{0j} + 9K_{2j} - 8K_{3j} + K_{4j})/30$$

8.4 Пошаговый контроль точности

4. Проверяется выполнение условий

$$\left| R_{j(i+1)} \right| \leq E, \quad \left| R_{j(i+1)} \right| \geq E/30$$

Если первое условие не выполняется, делится шаг h на 2 и повторяются вычисления с п. 2, восстановив начальные значения y_{ji} . Если это условие выполняется и выполняется второе условие, значения $x_{i+1} = x_i + h$ результат фиксируется. Если второе условие не выполняется, шаг h увеличивается вдвое и вычисления опять повторяются с п. 2.

8.5 Решения дифференциальных уравнений в Matlab.

8.5.1 Аналитическое решение дифференциальных уравнений в Matlab

Найдем аналитическое решение задачи Коши для дифференциального уравнения:

$$\frac{dy}{dx} = x^3 - 2y \quad (8.35)$$

$$y(0) = 0$$

```

1 -   clc;
2 -   dsolve('Dy = x^3 - 2*y', 'x') % Определяем аналитическое
3                                     % решение дифференциального уравнения
4   %Определяем частное решение диф.ур. при y(0) = 0 (решение задачи Коши)
5 -   dsolve('Dy = x^3 - 2*y', 'y(0) = 0', 'x')
```

Command Window

ans =

(3*x)/4 - (3*x^2)/4 + x^3/2 + C4*exp(-2*x) - 3/8

ans =

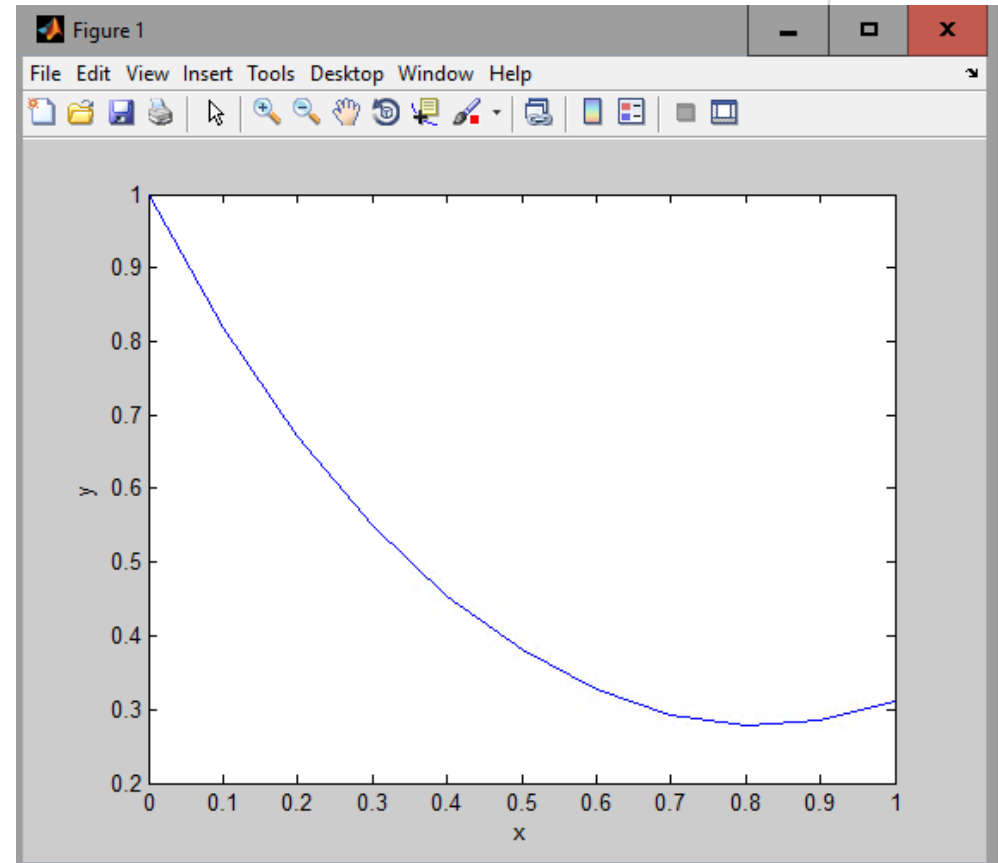
(3*x)/4 + (3*exp(-2*x))/8 - (3*x^2)/4 + x^3/2 - 3/8

8.5.2 Аналитическое решение задачи Коши для (8.35) на интервале $[0,1]$ по x

```
1 - clc;
2 - dsolve('Dy = x^3 - 2*y','x'); % Определяем аналитическое
3 -                               % решение дифференциального уравнения
4 - %Определяем частное решение диф.ур. при y(0) = 0 (решение задачи Коши)
5 - FDY = dsolve('Dy = x^3 - 2*y','y(0) = 0','x');
6 - FDY
7 - v = symvar(FDY); % получаем список переменных
8 - dya = @(X) double(subs(FDY,v,X)); % создаем функцию - аналитического решения
9 -
10 - % Решаем на интервале [0,1] по x
11 - x = 0:0.1:1;
12 - dya_x = dya(x);
13 - plot(x,dya_x);
```

Command Window

```
FDY =
(3*x)/4 + (11*exp(-2*x))/8 - (3*x^2)/4 + x^3/2 - 3/8
```



8.5.3 Решение задачи Коши для (8.35) на интервале [0,1] по x методом Эйлера

```
1 - clc;
2 - dsolve('Dy = x^3 - 2*y', 'x'); % Определяем аналитическое
3 -                               % решение дифференциального уравнения
4 - %Определяем частное решение диф.ур. при y(0) = 0 (решение задачи Коши)
5 - FDY = dsolve('Dy = x^3 - 2*y', 'y(0) = 0', 'x');
6 - FDY
7 -
8 - v = symvar(FDY); % получаем список переменных
9 - dya = @(X) double(subs(FDY,v,X)); % создаем функцию - аналитического решения
10
11 - FY = sym('x^3 - 2*y'); %%правая часть диф.ур.
12 - v2 = symvar(FY); % получаем список переменных
13 - f = @(X,Y) double(subs(FY,v2,{X,Y})); % создаем функцию - аналитического решения
14
15 - % Решаем на интервале [0,1] по x
16 - x = 0:0.1:1;
17 - dya_x = dya(x);
18 - %plot(x,dya_x);
19
20 - %Решаем методом Эйлера
21 - y0 = 0; % начальные условия
22
23 - dye_x = [];
24 - dye_x(1) = y0;
25 - n = length(x);
26 - h = x(2) - x(1);
27 -  for i=1:n-1
28 -     |   dye_x(i+1) = dye_x(i) + h*f(x(i),dye_x(i));
29 -     | end
30 - plot(x,dya_x, 'r*', x,dye_x, 'k*');
31
```


8.5.3 Решение задачи Коши для (8.35) на интервале [0,1] по x методом Эйлера

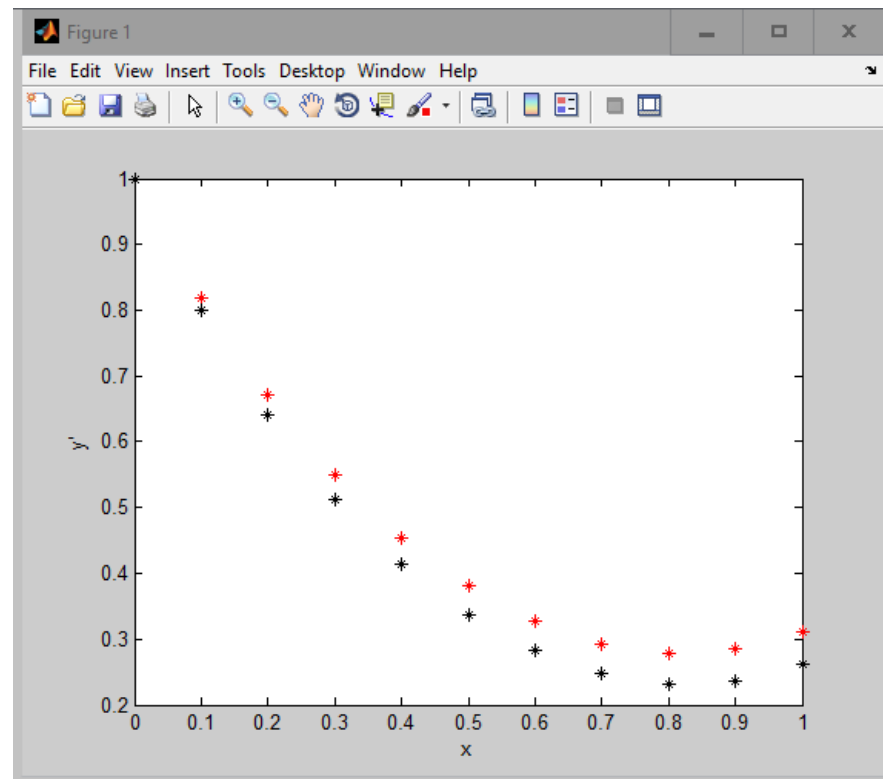
25

```
34
35 %% Определяем СКО для метода Эйлера
36 - delta = [];
37 - sko_e = 0;
38 - for i=1:n
39 -     delta(i) = dya_x(i) - dye_x(i);
40 -     sko_e = sko_e + (delta(i))^2;
41 - end
42 - sko_e = sqrt(sko_e/(n));
43 - sko_e = 100*sko_e/(max(dya_x) - min(dya_x))
44
```

Command Window

```
FDY =
(3*x)/4 + (11*exp(-2*x))/8 - (3*x^2)/4 + x^3/2 - 3/8

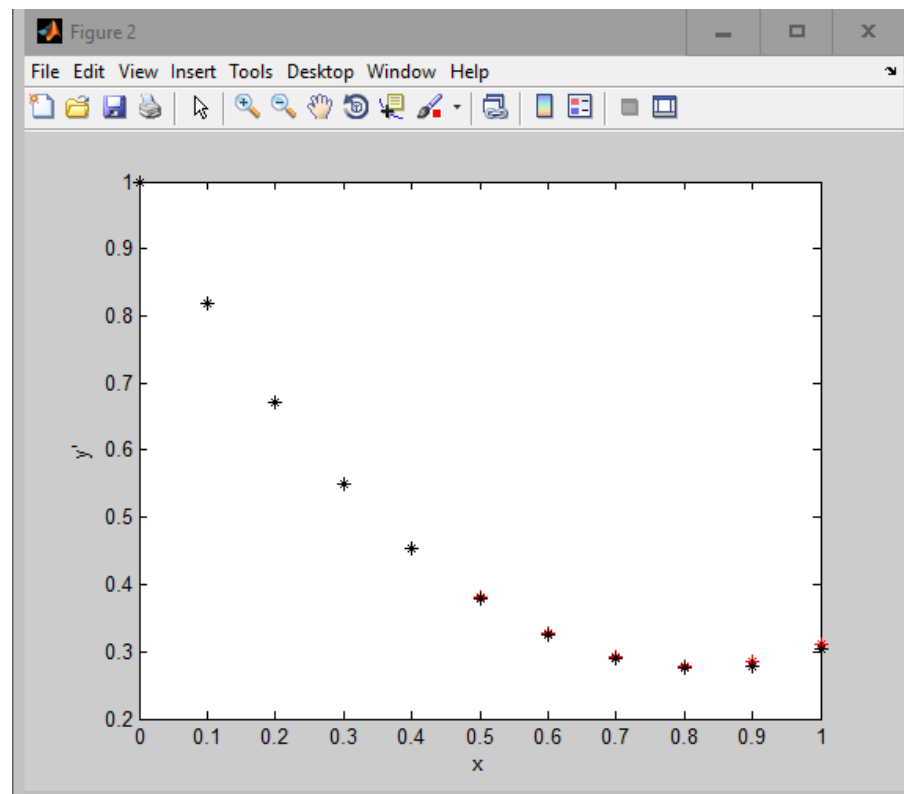
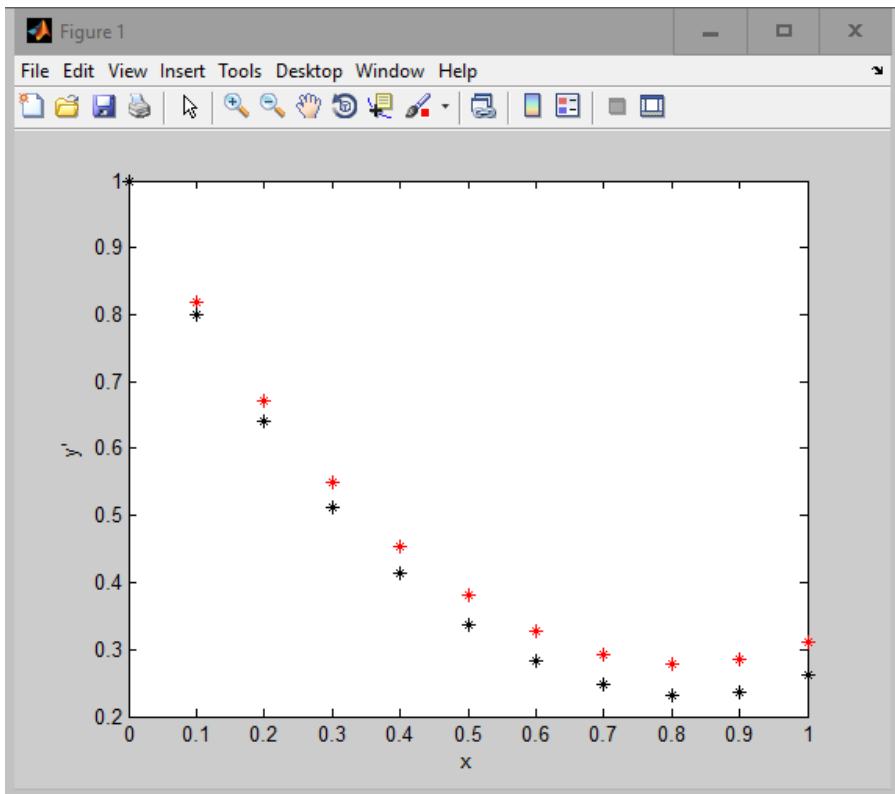
sko_e =
5.5051
```



8.5.4 Решение задачи Коши для (8.35) на интервале [0,1] по x методом Рунге-Кутта 4-го порядка

```
45     %Решаем методом Рунге-Кутта 4-го порядка
46 -   dyr_x = [];
47 -   dyr_x(1) = y0;
48 -   n = length(x);
49 -   h = x(2) - x(1);
50 -   for i=1:n-1
51 -       k1 = h*f(x(i), dyr_x(i));
52 -       k2 = h*f(x(i)+h/2, dyr_x(i)+k1/2);
53 -       k3 = h*f(x(i)+h/2, dyr_x(i)+k2/2);
54 -       k4 = h*f(x(i)+h/2, dyr_x(i)+k3);
55 -       dyr_x(i+1) = dyr_x(i) + (1/6)*(k1 + 2*k2 + 2*k3 + k4);
56 -   end
57
58 -   figure; plot(x, dya_x, 'r*', x, dyr_x, 'k*');
59
60     %% Определяем СКО для метода Рунге-Кутта 4-го порядка
61 -   delta = [];
62 -   sko_r = 0;
63 -   for i=1:n
64 -       delta(i) = dya_x(i) - dyr_x(i);
65 -       sko_r = sko_r + (delta(i))^2;
66 -   end
67 -   sko_r = sqrt(sko_r/(n));
68 -   sko_r = 100*sko_r/(max(dya_x) - min(dya_x))
```

8.5.4 Решение задачи Коши для (8.35) на интервале [0,1] по x методом Рунге-Кутта 4-го порядка



```
Command Window

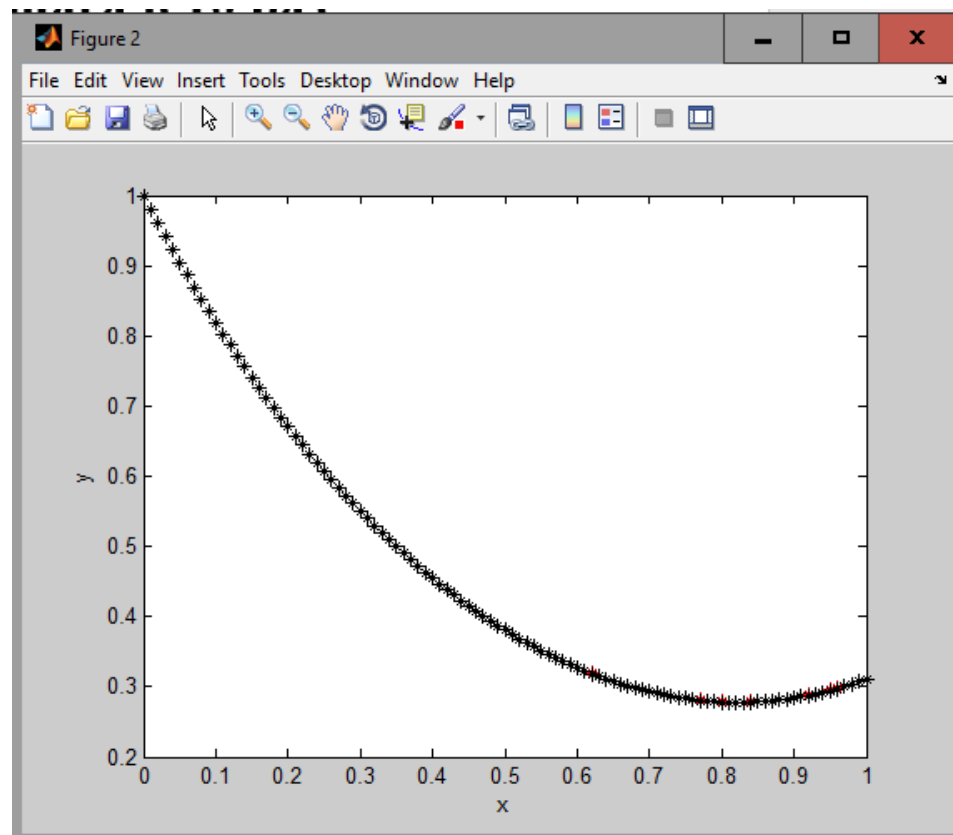
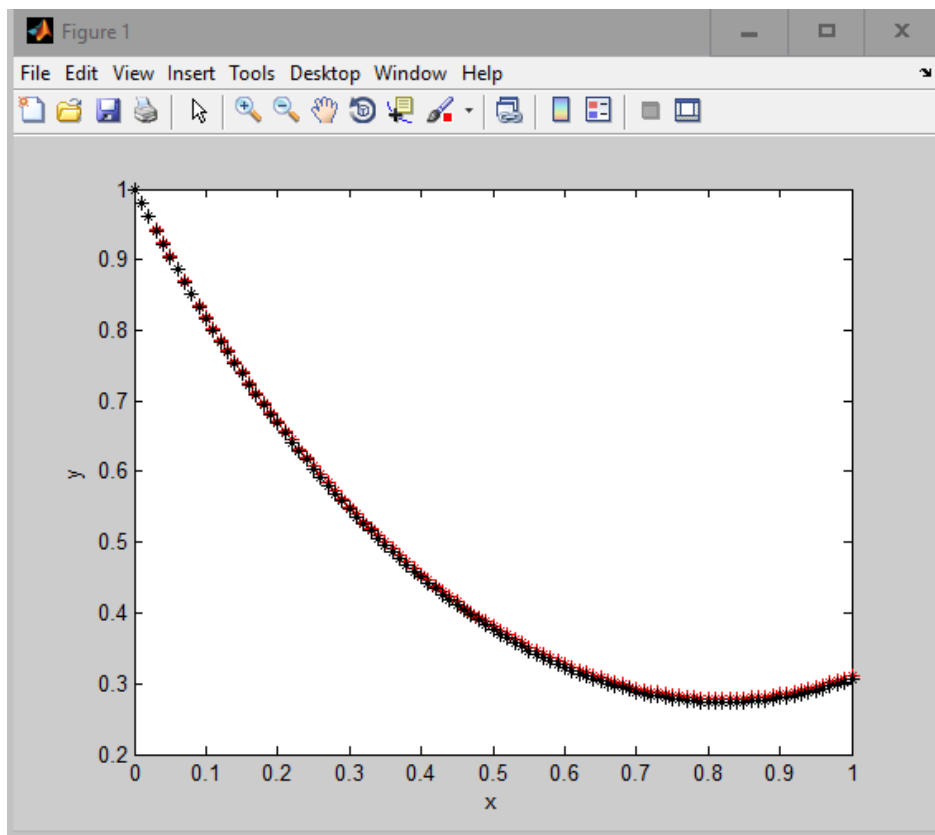
sko_e =

    5.5051

sko_r =

    0.3878
```

8.5.5 Решение задачи Коши для (8.35) на интервале $[0,1]$ при уменьшении шага в 10 раз

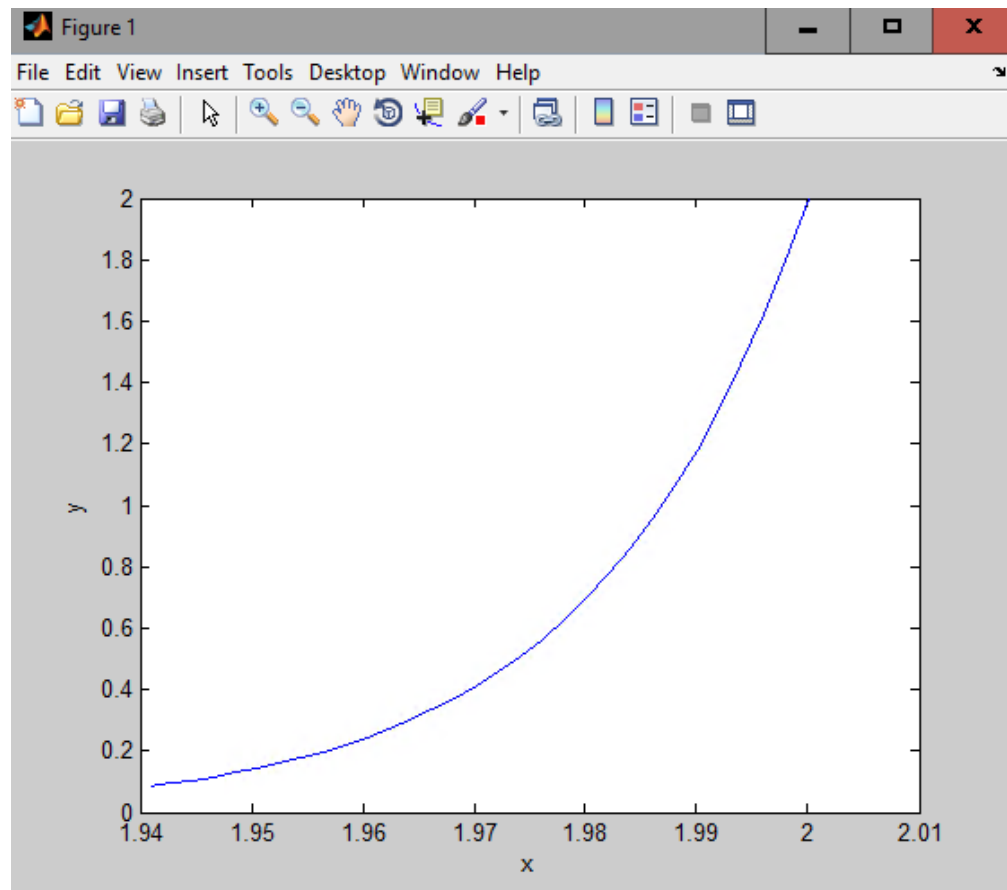


Command Window

```
sko_e =  
    0.5236  
  
sko_r =  
    0.0306
```

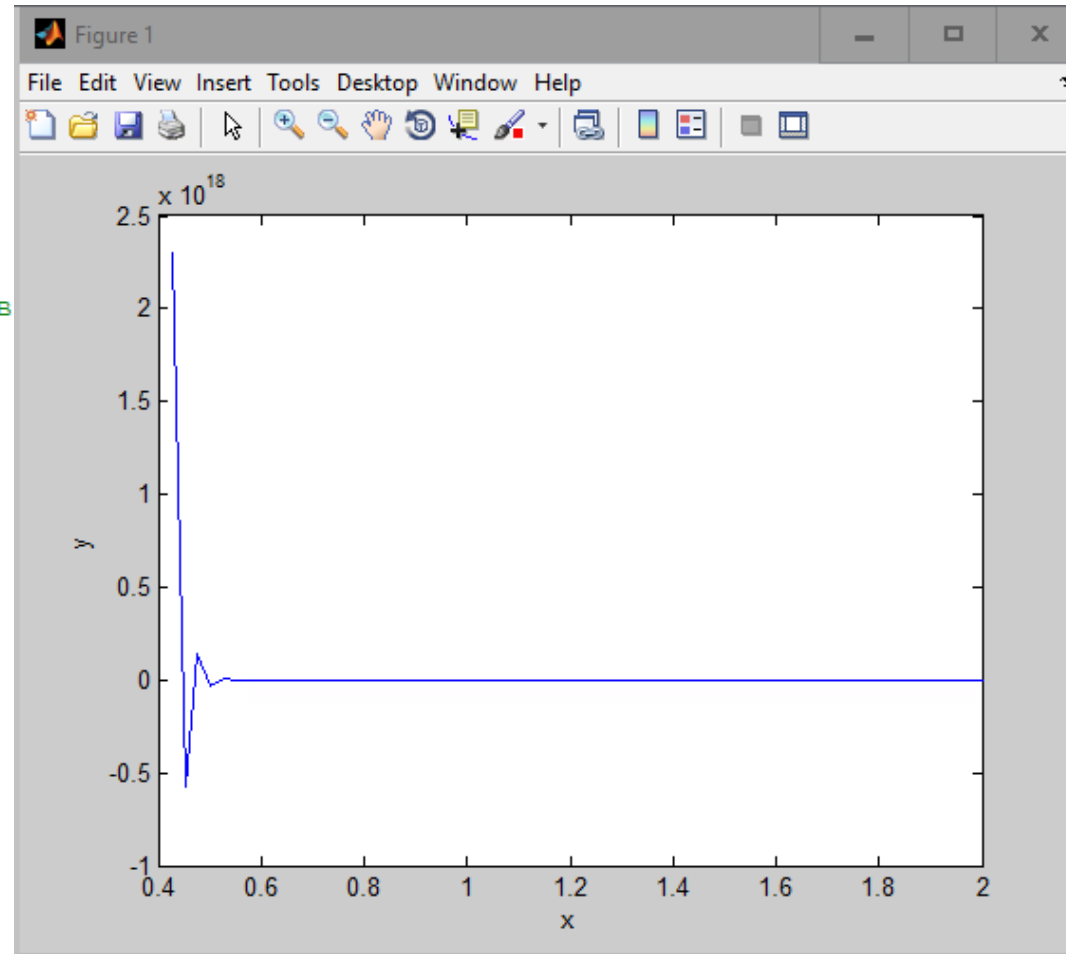
8.5.6 Решение ОДУ (8.7) методом Эйлера

```
Lecture_8_2.m x
1 -   clc;
2 -   x = [];
3 -   y = [];
4 -   x(1) = 2;
5 -   y(1) = 2;
6
7 -   k = 100;
8
9 -   n = 30; % задаем количество шагов
10
11  %Решаем методом Эйлера
12 -   h = 0.001;
13 -   %h = 0.05;
14 -   for i=1:n
15 -       x(i+1) = (1 - h)*x(i);
16 -       y(i+1) = (1 - h*k)*y(i);
17 -   end
18 -   plot(x,y);
```



8.5.7 Решение ОДУ (8.7) методом Эйлера (увеличиваем шаг с 0,001 до 0,05)

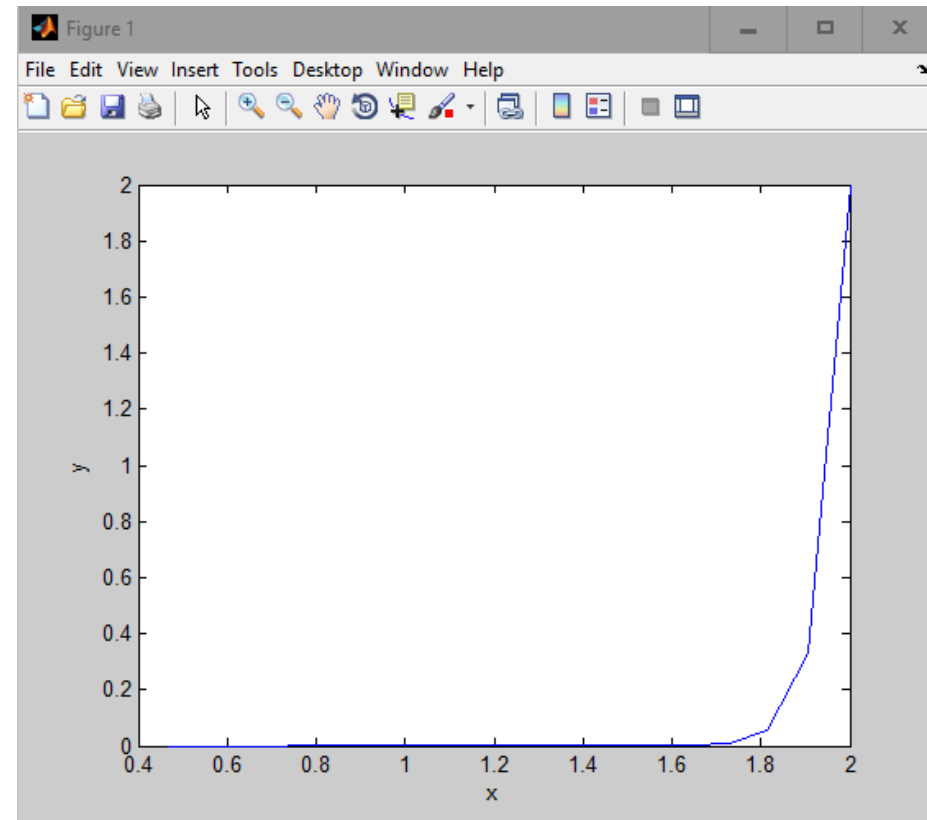
```
Lecture_8_2.m x
1 -   clc;
2 -   x = [];
3 -   y = [];
4 -   x(1) = 2;
5 -   y(1) = 2;
6
7 -   k = 100;
8
9 -   n = 30; % задаем количество шагов
10
11  %Решаем методом Эйлера
12  %h = 0.001;
13 -   h = 0.05;
14 -   for i=1:n
15 -       x(i+1) = (1 - h)*x(i);
16 -       y(i+1) = (1 - h*k)*y(i);
17 -   end
18 -   plot(x,y);
```



Решение ОДУ «развалилось»!!!

8.5.8 Решение ОДУ (8.7) в неявной форме (шаг решения 0,05)

```
Lecture_8_3.m x
1 -   clc;
2 -   x = [];
3 -   y = [];
4 -   x(1) = 2;
5 -   y(1) = 2;
6
7 -   k = 100;
8
9 -   n = 30; % задаем количество шагов
10
11  %Решаем методом Эйлера
12  %h = 0.001;
13  h = 0.05;
14  for i=1:n
15      x(i+1) = x(i) - (h/(1+h)*x(i));
16      y(i+1) = y(i) - ((h/(1+k*h))*k*y(i));
17  end
18  plot(x, y);
```



8.5.9 Решение ОДУ (8.7) в неявной форме (шаг решения 0,5)

```
Lecture_8_3.m x
1 -   clc;
2 -   x = [];
3 -   y = [];
4 -   x(1) = 2;
5 -   y(1) = 2;
6
7 -   k = 100;
8
9 -   n = 30; % задаем количество шагов
10
11  %Решаем методом Эйлера
12  %h = 0.001;
13  %h = 0.05;
14  h = 0.5;
15  for i=1:n
16      x(i+1) = x(i) - (h/(1+h)*x(i));
17      y(i+1) = y(i) - ((h/(1+k*h))*k*y(i));
18  end
19  plot(x,y);
```

